



LA-CoNGA physics

Teoría: Altas Energías Clase 06/22

Cálculos en QED Prof. José Antonio López Rodríguez

7 de abril de 2022

Electrodinámica Cuántica

José Antonio López Rodríguez

Universidad Central de Venezuela

7 de abril de 2022



Latin American alliance for
Capacity building in Advanced physics
LA-CoNGA physics



Cofinanciado por el
programa Erasmus+
de la Unión Europea





Contenido

Recuento

Resumen Proca y proyectores

Trazas γ

Perturbaciones

Reglas de Feynman

Cálculos en teoría de perturbaciones

Cálculos en teoría de perturbaciones

Aniquilación $e^- + e^+ \rightarrow \mu^- + \mu^+$: estructura

Aniquilación $e^- + e^+ \rightarrow \mu^- + \mu^+$

Aniquilación $e^- + e^+ \rightarrow \mu^- + \mu^+$: cálculo de la amplitud

Interacción

Sobre Helicidad y Quiralidad

Estructura de helicidades

Otros casos y correcciones

Otros casos

Renormalización

Recuento



- ▶ El sistema que se debe resolver.
Cuatro ecuaciones de Klein-Gordon masivas y la condición de divergencia nula:

$$(\square + m^2)B_\mu = 0, \quad (1)$$

$$\partial_\nu B^\nu = 0. \quad (2)$$

- ▶ Solución propuesta:

$$B_\mu = \epsilon_\mu^{(\lambda)}(q)e^{-iq \cdot x}. \quad (3)$$

- ▶ $\lambda = 0 \dots 3$ son las cuatro polarizaciones independientes.
- ▶ La ecuación de movimiento impone la condición:

$$q^2 = m^2. \quad (4)$$

- ▶ La condición de divergencia nula:

$$q^\mu \epsilon_\mu^{(\lambda)}(q) = 0. \quad (5)$$



- ▶ Nos interesa obtener una expresión covariante del operador de proyección sobre los estados $q^\mu \epsilon_\mu^{(\lambda)}(q) = 0$:

$$\sum_{q^\mu \epsilon_\mu^{(\lambda)}(q)=0} (\epsilon_\mu^{(\lambda)})^* \epsilon_\nu^{(\lambda)} = -\left(g_{\mu\nu} - \frac{q_\mu q_\nu}{m^2}\right). \quad (6)$$

Cumple con las propiedades deseadas.



- ▶ La proyección sobre las polarizaciones físicas ($\epsilon^{(i=1,2)}$):

$$\sum_{i=1,2} (\epsilon_{\mu}^{(i)})^* \epsilon_{\nu}^{(i)} = \sum_{\lambda} \zeta^{\lambda} (\epsilon_{\mu}^{(\lambda)})^* \epsilon_{\nu}^{(\lambda)} - (\zeta^0 (\epsilon_{\mu}^{(0)})^* \epsilon_{\nu}^{(0)} + \zeta^3 (\epsilon_{\mu}^{(3)})^* \epsilon_{\nu}^{(3)}). \quad (7)$$

$$\sum_{i=1,2} (\epsilon_{\mu}^{(i)})^* \epsilon_{\nu}^{(i)} = -g_{\mu\nu} + ((\epsilon_{\mu}^{(0)})^* \epsilon_{\nu}^{(0)} - (\epsilon_{\mu}^{(3)})^* \epsilon_{\nu}^{(3)}) = -g_{\mu\nu} + (P_q)_{\mu\nu}, \quad (8)$$

donde $(P_q)_{\mu\nu}$ es el operador de proyección sobre la dirección de q_{μ} .



- ▶ En el cálculo de perturbaciones necesitaremos considerar polarizaciones de fotones que no cumplen la condición *on shell* ($q^2 \neq 0$).
- ▶ En ese caso se puede tomar prestado el resultado del Campo de Proca:

$$\sum_{q^\mu \epsilon_\mu^{(\lambda)}(q)=0} (\epsilon_\mu^{(\lambda)})^* \epsilon_\nu^{(\lambda)} = \sum_{i=1}^3 (\epsilon_\mu^{(i)})^* \epsilon_\nu^{(i)} = -(g_{\mu\nu} - \frac{q_\mu q_\nu}{q^2}). \quad (9)$$



► Sabemos

$$\sum_{s=1,2} u_s(p) \bar{u}_s(p) = (\gamma^\mu p_\mu + m). \quad (10)$$

$$\sum_{s=1,2} v_s(p) \bar{v}_s(p) = (\gamma^\mu p_\mu - m). \quad (11)$$



$$\text{Tr}(I) = 4 \quad (12)$$

- ▶ La traza de un número impar de matrices es cero.



$$\text{Tr}(\gamma^\mu \gamma^\nu) = 4g^{\mu\nu} \quad (13)$$

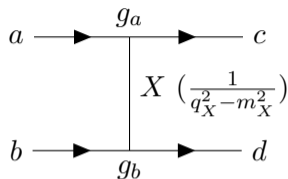


$$\text{Tr}(\gamma^\mu \gamma^\nu \gamma^\rho \gamma^\sigma) = 4g^{\mu\nu} g^{\rho\sigma} - 4g^{\mu\rho} g^{\nu\sigma} + 4g^{\mu\sigma} g^{\rho\nu}. \quad (14)$$

- ▶ La traza de un número impar de matrices $\times \gamma^5$ es cero.



Estructura general de un diagrama de Feynman



- ▶ La partícula X es virtual, no detectable. No es una partícula física.
- ▶ En general

$$q_X^2 - m_X^2 \neq 0. \quad (15)$$

- ▶ En este tipo de diagrama

$$q_X^2 = (p_a - p_c)^2 = (p_d - p_b)^2 = t. \quad (16)$$



Reglas de Feynman: fermiones externos

- ▶ Partícula in



$$u(p)$$

$$e^- \rightarrow \bullet$$

- ▶ Partícula out



$$\bar{u}(p)$$

$$\bullet \rightarrow e^-$$

- ▶ Antipartícula in



$$\bar{v}(p)$$

$$e^+ \rightarrow \bullet$$

- ▶ Antipartícula out



$$v(p)$$

$$\bullet \rightarrow e^+$$



- ▶ Fotón in



$$\epsilon_{\mu}(q)$$

$$\gamma \rightarrow \bullet$$

- ▶ Fotón out



$$\epsilon_{\mu}^{*}(q)$$

$$\bullet \rightarrow \gamma$$



Reglas de Feynman: líneas internas y vértice

- ▶ Intercambio de fotón



$$-\frac{ig_{\mu\nu}}{q^2}$$



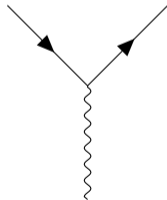
- ▶ Intercambio de fermión



$$-\frac{i(\gamma^\mu q_\mu + m)}{q^2 - m^2}$$



- ▶ Vértice

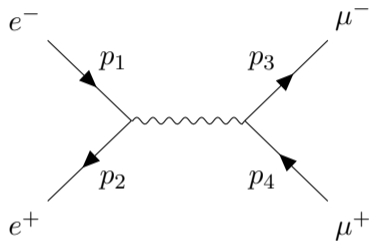


$$-iq\gamma^\mu$$



Ejemplo aniquilación

- ▶ Ejemplo: $e^- + e^+ \rightarrow \mu^- + \mu^+$



- ▶ La amplitud

$$\bar{v}(p_2) (iq_e \gamma^\mu) u(p_1) \left(\frac{-ig_{\mu\nu}}{q^2} \right) \bar{u}(p_3) (iq_\mu \gamma^\nu) v(p_4). \quad (17)$$

Cálculos en teoría de perturbaciones

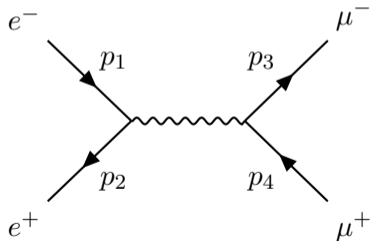


Perturbaciones y términos dominantes

- ▶ Consideramos sistemas con estados inicial y final libres
- ▶ El efecto de la interacción (\mathcal{M}_{fi}) viene descrita por una serie

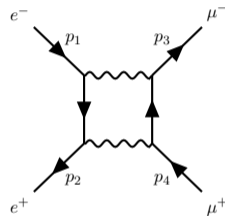
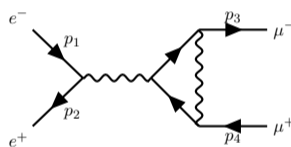
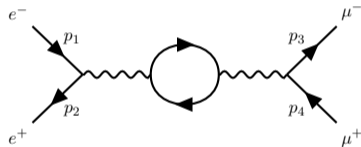
$$\mathcal{M}_{fi} = \mathcal{M}_{LO} + \sum_j \mathcal{M}_{1,j} \dots \quad (18)$$

- ▶ Ejemplo: en $e^- + e^+ \rightarrow \mu^- + \mu^+$ el orden más bajo posible es:





- ▶ Los términos siguientes tienen dos vértices más. Una muestra representativa:



- ▶ Cada nueva línea interna genera lazos y aporta dos vértices nuevos.



- ▶ Los diagramas siempre tienen un número par de vértices.
- ▶ Cada par de vértices aportan un factor de $\alpha = \frac{q^2}{4\pi}$.
- ▶ Definimos $\mathcal{M}_{k,i} = \alpha^{k+1} M_{k,i}$

$$\mathcal{M}_{fi} = \alpha M_{LO} + \alpha^2 \sum_j M_{1,j} \dots \quad (19)$$

- ▶ El módulo cuadrado del elemento de matriz:

$$|\mathcal{M}_{fi}|^2 = \alpha^2 |M_{LO}|^2 + \alpha^3 \sum_j (M_{LO}^* M_{1,j} + M_{LO} M_{1,j}^*) + \dots \quad (20)$$

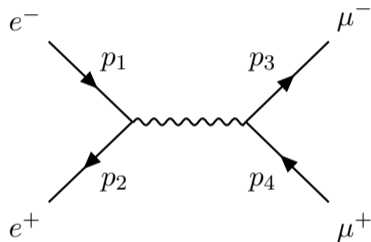
- ▶ Puesto que $\alpha \sim \frac{1}{137}$, la contribución más importante viene del término de orden más bajo.

Aniquilación $e^- + e^+ \rightarrow \mu^- + \mu^+$: estructura



Aniquilación $e^- + e^+ \rightarrow \mu^- + \mu^+$

- ▶ El diagrama a orden más bajo:
- ▶ Ejemplo: en $e^- + e^+ \rightarrow \mu^- + \mu^+$ el orden más bajo posible es:



- ▶ La amplitud

$$\mathcal{M} = -\frac{e^2}{q^2} (\bar{v}(p_2)\gamma^\rho u(p_1)) g_{\rho\sigma} (\bar{u}(p_3)\gamma^\sigma v(p_4)). \quad (21)$$



Clasificación en estados de Helicidad

- ▶ Hay 4 combinaciones de helicidad (R y L) independientes en cada estado (inicial y final)

$$(R, R); (L, R); (R, L); (L, L). \quad (22)$$

- ▶ Para una combinación cualquiera en el estado inicial, hay 4 contribuciones en el estado final. Por ejemplo, para un estado inicial (R, R)

$$|\mathcal{M}_{RR}|^2 = |\mathcal{M}_{RR \rightarrow RR}|^2 + |\mathcal{M}_{RR \rightarrow LR}|^2 + |\mathcal{M}_{RR \rightarrow RL}|^2 + |\mathcal{M}_{RR \rightarrow LL}|^2. \quad (23)$$

- ▶ En el caso, muy común, que el estado inicial no esté polarizado, se debe promediar sobre las 4 igualmente probables configuraciones iniciales posibles.

$$\langle |\mathcal{M}|^2 \rangle = \frac{1}{4} \sum_{\text{espines}} |\mathcal{M}|^2. \quad (24)$$

Aniquilación $e^- + e^+ \rightarrow \mu^- + \mu^+$: cálculo de la amplitud



Forma general de la amplitud $e^- + e^+ \rightarrow \mu^- + \mu^+$

- ▶ Desarrollamos la expresión

$$\langle |\mathcal{M}|^2 \rangle = \frac{1}{4} \sum_{\text{espines}} |\mathcal{M}|^2. \quad (25)$$

- ▶ Escribimos la suma sobre todos los espines:

$$\begin{aligned} \langle |\mathcal{M}|^2 \rangle &= \frac{1}{4} \sum_{r,s,r',s'} \frac{e^2}{q^2} (\bar{v}^r(p_2) \gamma^\rho u^s(p_1)) g_{\rho\sigma} (\bar{u}^{s'}(p_3) \gamma^\sigma v^{r'}(p_4)) \\ &\times \left[\frac{e^2}{q^2} (\bar{v}^r(p_2) \gamma^\alpha u^s(p_1)) g_{\alpha\beta} (\bar{u}^{s'}(p_3) \gamma^\beta v^{r'}(p_4)) \right]^\dagger. \end{aligned} \quad (26)$$



- ▶ Reorganizando

$$\begin{aligned} \langle |\mathcal{M}|^2 \rangle &= \frac{e^4}{4q^4} \sum_{r,s,r',s'} (\bar{v}^r(p_2) \gamma^\sigma u^s(p_1)) \left[(\bar{v}^r(p_2) \gamma^\beta u^s(p_1)) \right]^\dagger \\ &\times (\bar{u}^{s'}(p_3) \gamma_\sigma v^{r'}(p_4)) \left[(\bar{u}^{s'}(p_3) \gamma_\beta v^{r'}(p_4)) \right]^\dagger. \end{aligned} \quad (27)$$

- ▶ Usamos la identidad

$$\left[\bar{\phi} \gamma^\mu \psi \right]^\dagger = \bar{\psi} \gamma^\mu \phi. \quad (28)$$



- ▶ Queda

$$\begin{aligned} \langle |\mathcal{M}|^2 \rangle &= \frac{e^4}{4q^4} \sum_{r,s,r',s'} (\bar{v}^r(p_2) \gamma^\sigma u^s(p_1)) (\bar{u}^s(p_1) \gamma^\beta v^r(p_2)) \\ &\times (\bar{u}^{s'}(p_3) \gamma_\sigma v^{r'}(p_4)) (\bar{v}^{r'}(p_4) \gamma_\beta u^{s'}(p_3)), \end{aligned} \quad (29)$$

- ▶ que puede reescribirse en forma de trazas

$$\begin{aligned} \langle |\mathcal{M}|^2 \rangle &= \frac{e^4}{4q^4} \sum_{r,s,r',s'} \text{Tr} \left[(v^r(p_2) \bar{v}^r(p_2)) \gamma^\sigma (u^s(p_1) \bar{u}^s(p_1)) \gamma^\beta \right] \\ &\times \text{Tr} \left[(u^{s'}(p_3) \bar{u}^{s'}(p_3)) \gamma_\sigma (v^{r'}(p_4) \bar{v}^{r'}(p_4)) \gamma_\beta \right]. \end{aligned} \quad (30)$$



- ▶ Usando las relaciones de completitud de las soluciones de Dirac

$$\begin{aligned} \langle |\mathcal{M}|^2 \rangle &= \frac{e^4}{4q^4} \text{Tr} \left[(\not{p}_2 - m_e) \gamma^\sigma (\not{p}_1 + m_e) \gamma^\beta \right] \\ &\times \text{Tr} \left[(\not{p}_3 + m_\mu) \gamma_\sigma (\not{p}_4 - m_\mu) \gamma_\beta \right] \end{aligned} \quad (31)$$

$$\begin{aligned} &= \frac{e^4}{4q^4} \left[\text{Tr} \left(\gamma^\alpha \gamma^\sigma \gamma^\rho \gamma^\beta \right) p_{2\alpha} p_{1\rho} - m_e^2 \text{Tr} \left(\gamma^\sigma \gamma^\beta \right) \right] \\ &\times \left[\text{Tr} \left(\gamma^\alpha \gamma_\sigma \gamma_\rho \gamma_\beta \right) p_{3\alpha} p_{4\rho} - m_\mu^2 \text{Tr} \left(\gamma_\sigma \gamma_\beta \right) \right]. \end{aligned} \quad (32)$$



- ▶ Usamos las fórmulas de las trazas



$$\text{Tr}(\gamma^\mu \gamma^\nu) = 4g^{\mu\nu} \quad (33)$$



$$\text{Tr}(\gamma^\mu \gamma^\nu \gamma^\rho \gamma^\sigma) = 4g^{\mu\nu} g^{\rho\sigma} - 4g^{\mu\rho} g^{\nu\sigma} + 4g^{\mu\sigma} g^{\rho\nu}. \quad (34)$$

- ▶ Se obtiene la siguiente expresión invariante:

$$\begin{aligned} \langle |\mathcal{M}|^2 \rangle &= \frac{4e^4}{q^4} [2(p_1 \cdot p_3)(p_2 \cdot p_4) + 2(p_2 \cdot p_3)(p_1 \cdot p_4) \\ &+ 2m_\mu^2(p_1 \cdot p_2) + 2m_e^2(p_3 \cdot p_4) + 4m_e^2 m_\mu^2]. \end{aligned} \quad (35)$$



- ▶ En el límite ultra relativista podemos despreciar la contribución de las masas.
Además:

$$q^2 = s = (p_1 + p_2)^2 = p_1^2 + p_2^2 + 2(p_1 \cdot p_2) \sim 2(p_1 \cdot p_2). \quad (36)$$

$$t = (p_3 - p_1)^2 = p_3^2 + p_1^2 - 2(p_1 \cdot p_3) \sim -2(p_1 \cdot p_3). \quad (37)$$

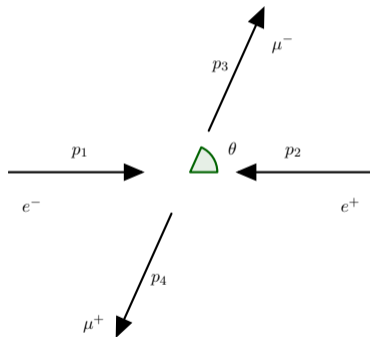
$$u = (p_4 - p_1)^2 = p_4^2 + p_1^2 - 2(p_1 \cdot p_4) \sim -2(p_1 \cdot p_4). \quad (38)$$

- ▶ Se simplifica

$$\langle |\mathcal{M}|^2 \rangle = 2e^4 \left(\frac{t^2 + u^2}{s^2} \right). \quad (39)$$



- ▶ La amplitud $\langle |\mathcal{M}|^2 \rangle$ depende del ángulo de dispersión.



$$\langle |\mathcal{M}|^2 \rangle = e^4 (1 + \cos^2 \theta). \quad (40)$$

Sobre Helicidad y Quiralidad



Contribuciones no nulas a la amplitud promedio

- ▶ No todas las combinaciones de polarización de estados iniciales y finales contribuyen a la amplitud.
- ▶ Algunas combinaciones son nulas.
- ▶ En el caso $e^- + e^+ \rightarrow \mu^- + \mu^+$, en el límite $m \rightarrow 0$ únicamente sobreviven las combinaciones con espín alineado en los estados inicial y final.

$$\langle |\mathcal{M}|^2 \rangle = \frac{1}{4} \left(|\mathcal{M}_{LR \rightarrow LR}|^2 + |\mathcal{M}_{RL \rightarrow RL}|^2 + |\mathcal{M}_{RL \rightarrow LR}|^2 + |\mathcal{M}_{LR \rightarrow RL}|^2 \right) \quad (41)$$

- ▶ Las combinaciones de espín permitidas tienen estados iniciales y finales de momento angular total 1.
- ▶ Es un reflejo de la estructura de espín del campo electromagnético.



- ▶ Ya hemos definido la matriz γ^5 .

$$\gamma^5 = i\gamma^0\gamma^1\gamma^2\gamma^3. \quad (42)$$

- ▶ Se cumple:

$$(\gamma^5)^2 = I, \quad (43)$$

$$(\gamma^5)^\dagger = \gamma^5, \quad (44)$$

$$\gamma^5\gamma^\mu = -\gamma^\mu\gamma^5. \quad (45)$$

- ▶ En el límite $m \rightarrow 0$, γ^5 conmuta con el Hamiltoniano de Dirac.
- ▶ En ese caso los autoestados de γ^5 también son autoestados de helicidad.

$$\gamma^5 u_\uparrow = +u_\uparrow, \quad \gamma^5 u_\downarrow = -u_\downarrow, \quad \gamma^5 v_\uparrow = -v_\uparrow, \quad \gamma^5 v_\downarrow = +v_\downarrow. \quad (46)$$



- ▶ Se definen los proyectores quirales:

$$P_R = \frac{1}{2}(I + \gamma^5), \quad (47)$$

$$P_L = \frac{1}{2}(I - \gamma^5), \quad (48)$$

- ▶ Los proyectores cumplen

$$P_R u_R = u_R, \quad (49)$$

$$P_L u_L = u_L, \quad (50)$$

$$P_R u_L = P_L u_R = 0, \quad (51)$$

$$P_R v_L = v_L, \quad (52)$$

$$P_L v_R = v_R, \quad (53)$$

$$P_R v_R = P_L v_L = 0, \quad (54)$$



- ▶ Las propiedades de los proyectores explican la cancelación de algunos términos en la amplitud

$$P_{(R,L)}\gamma^\mu = \gamma^\mu P_{(L,R)}, \quad (55)$$

$$\left[P_{(R,L)}, \gamma^0 \gamma^\mu \right] = 0. \quad (56)$$

- ▶ Tenemos, por ejemplo:

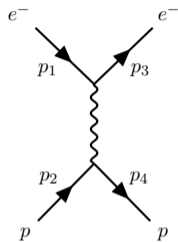
$$\bar{u}_R \gamma^\mu u_L = \overline{P_R u_R} \gamma^\mu P_L u_L = \bar{u}_R \gamma^\mu P_R P_L u_L = 0. \quad (57)$$

$$\bar{u}_R \gamma^\mu v_L = \overline{P_R u_R} \gamma^\mu P_R v_L = \bar{u}_R \gamma^\mu P_R P_R v_L = \bar{u}_R \gamma^\mu v_L. \quad (58)$$

Otros casos y correcciones



- ▶ Es el caso de una partícula dispersada en el potencial de otra:



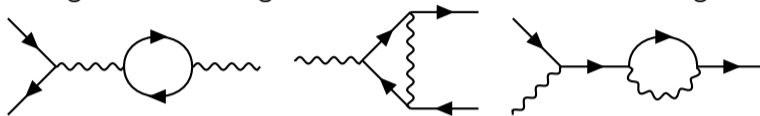
- ▶ La amplitud queda:

$$\mathcal{M}_{fi} = \frac{Qe^2}{q^2} [\bar{u}(p_3)\gamma^\mu u(p_1)] g_{\mu\nu} [\bar{u}(p_4)\gamma^\nu u(p_2)]. \quad (59)$$

- ▶ Todas son partículas.



- ▶ La magnitud de la carga recibe correcciones radiativas. Algunos contribuyentes:



- ▶ Las contribuciones efectivas provienen del primer diagrama.
- ▶ Contribuciones con líneas internas de fermiones se cancelan.
- ▶ La intensidad de la interacción se hace más fuerte al aumentar la escala de la energía.

$$\alpha(q^2) = \frac{\alpha(q_0^2)}{1 - \alpha(q_0^2) \frac{1}{3\pi} \ln\left(\frac{q^2}{q_0^2}\right)}. \quad (60)$$



Mark Thomson (2013)
Modern particle physics
Cambridge University Press.



Michael Peskin (2018)
An introduction to quantum field theory
CRC press.



<http://laconga.redclara.net>



contacto@laconga.redclara.net



lacongapysics



Latin American alliance for
Capacity building in Advanced physics

LA-CoNGA physics



Cofinanciado por el
programa Erasmus+
de la Unión Europea

El apoyo de la Comisión Europea para la producción de esta publicación no constituye una aprobación del contenido, el cual refleja únicamente las opiniones de los autores, y la Comisión no se hace responsable del uso que pueda hacerse de la información contenida en la misma.

